

九州大学工学部 正員 平野東夫
九州大学大学院 学生員。左田 真
渡辺訓甫

1. 緒言

掃流砂による貯水池の堆砂過程については、従来から多くの研究が行なわれ、段丘の進行による貯水池の埋没と背砂機構はほぼ明確になっている。しかし実際の貯水池では浮流砂の堆積した Bottom-set Bed 上を掃流砂が段丘の形で進む為に、浮流掃流を交えた場合の堆砂機構を解明する事が必要である。浮流砂と掃流砂の堆砂境界面形状は、貯水池に流入する浮流砂量と掃流砂量の割合によると、(決ると思われるが)我々の実験では、境界面はほぼ直線状になつた。以下我々の行なった実験の結果について考察を行う。

2. 実験装置と方法

実験に用いた水路は、有効長 15 m、幅 0.6 m、底勾配 1/50 のコンクリート製固定水路で、水路下流端に高さ 14.6 cm のセキを設置し、上流端に砂と石炭粉の供給装置がある。アルタ上と砂は掃流状態で移動し、石炭粉は浮流状態で流れるようになつた。

流量と粒径を定め、流量 Q と供給砂量 g_{so} を一定にして供給石炭粉量 g_{so} をいろいろ変えて実験を行つた。表-1 に主な実験要目を示してある。尚、使用した砂は $d_{50} = 0.83 \text{ mm}$ ・比重 $\gamma = 2.65$ 、石炭粉は $d_{50} = 0.48 \text{ mm}$ ・比重 $\gamma = 1.38$ ・沈降速度 $w_0 = 2.3 \text{ cm/s}$ である。各実験に於いて流量と供給砂量、供給石炭粉量を一定にしておき、段丘肩の位置と高さの変化をできるだけ連続的に記録し、約 20 分間隔で堆砂形状と水面形を測定した。又実験終了後、堆砂を掘り起して掃流・浮流境界面の形状を測定した。

3. 実験結果

貯水池堆砂の典型的な形は、図-1 のように① top-set beds、② fore-set beds、③ bottom-set beds、④ density current beds の 4 形で形成されると言われているが、本実験では、アルタ前面の bottom-set beds が洗刷されて河床が露出するという現象が起つた。

(1) 浮流砂(石炭粉)と掃流砂の供給を開始すると、まず跳水附近に砂がたまってアルタを形成し、石炭粉は貯水池全体に堆積する。アルタが形成されると流線はアルタ肩から離し、アルタ先端に wake ができる。wake 内に沈降してさく石炭粉は wake 内前面附近の逆流によってアルタ先端の法先に集められ、アルタ肩から落下していく砂によつて埋められてゆく。本実験では、アルタ肩と通過した流水は wake の渦によって下方にひき寄せられ wake 前面に堆積していく石炭粉をまざあげて下流に押し流す。アルタの進行と共に wake 前面の浮流堆砂は順次下方へ押し流され、アルタがセキに到達すると全部堆砂から流失してしまう。従ってアルタの形成に寄与する浮流砂は wake 内に沈殿したものだけと考えられる。

(2) アルタ肩の軌跡は図-3 に示すように、ほど水平になり、おり掃流砂のみの場合(実験 No.1)と浮流砂と

表-1 実験要目

	単位流量 Q (cm^3/s)	供給砂量 g_{so} (cm^3/s)	供給石炭粉量 g_{so} (%)	g_{so}/g_{so}	底勾配 I *	g_{so}	g_{so}/g_{so}
No. I	302	0.874	0	0	1/50	0.79	0.567
II	302	0.909	0.449	0.5	1/50	0.79	0.59
III	302	0.905	0.904	1.0	1/50	0.79	0.59
IV	302	0.926	1.800	2.0	1/50	0.79	0.60

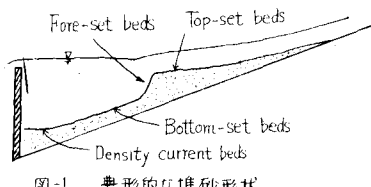


図-1 奥形的な堆砂形状

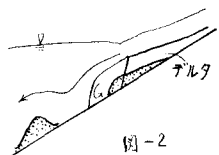


図-2

含む場合 (No.I, II, III, IV) との間に系統的差異は認められぬ。

(3) デルタ肩の進行速度と後端の進上速度は共に浮流砂が増すにつれて増大する。

(4) 実験終了後、デルタと掘り起してみると砂の堆積の下に石灰粉だけの堆積があり、その境界面は、可成りつゝりしており、図-3に示す通り根近くを除いては、ほぼ直線になつてゐる。

4. 実験結果の考察

① 浮流砂・掃流砂境界面

本実験例のようにデルタ前面の bottom-set beds が洗い流される場合には供給砂量のうちデルタ先端の wake 内に沈殿する浮流砂だけがデルタの形成に寄与する。後で wake 内に単位時間に沈殿して来る浮流砂量を g_{sf} 、浮流砂の空隙率を λ 、デルタ肩の掃流砂量を g_{bs} 、掃流砂の空隙率を入すると、流砂の連続条件から

$$\frac{g_{sf}}{(1-\lambda)} = \frac{dx_f}{dt} (\beta - \delta) \quad ①$$

$$\frac{g_{bs}}{(1-\lambda)} = \frac{dx_b}{dt} \delta \quad ②$$

以上 2 式より $\frac{dx_b}{dx_f}$ を消去すると

$$\frac{\delta}{\beta} = \frac{1}{1 + \frac{g_{sf}}{g_{bs}} \cdot \frac{(1-\lambda)}{(1-\lambda')}} \quad ③$$

デルタ肩の軌跡は、ほゞ水平長から、 $S = x_f - x_b$ で

$\delta/\beta = \text{const.}$ であれば浮流砂・掃流砂境界面は直線となる。後に述べるように $g_{bs} = \text{const.}$ と考えられるので、 $g_{sf} = \text{const.}$ であれば直線となる。然るに wake 内に沈殿する浮流砂だけがデルタ底部に沈殿するものとすれば、 $S = x_f - x_b$ として

$$g_{sf} = \int_0^t C_0 \cdot W_0 \, ds \quad ④$$

但し C_0 は wake 上の浮流砂の濃度で、 W_0 は浮流砂の沈降速度である。又、デルタ肩に於ける浮流砂の底面濃度を C_0f とすると C_0 は $C_0 = C_0f \cdot f(S)$ で表わされるものとすると、③式は δ/β 入として

$$\text{次式 } \frac{\delta}{\beta} = \frac{1}{1 + \frac{g_{sf}}{g_{bs}}} = \frac{1}{1 + \frac{C_0 \cdot W_0}{P \cdot g} \int_0^t f(S) \, ds} \quad ⑤$$

濃度分布に Kalinske の濃度分布式を用いれば

$$C_0f = \frac{g_{so}}{P \cdot g} \quad \text{但し } P = \int_0^t [1 + 25 \frac{U}{V} (1 + \eta) \exp(-15 \frac{U}{V} \eta)] d\eta \quad ⑥$$

$$\text{⑤, ⑥ 式より, } \frac{\delta}{\beta} = \frac{1}{1 + \frac{g_{so} \cdot W_0}{P \cdot g} \int_0^t f(S) \, ds} \quad ⑦$$

よって ⑦ 式より、浮流砂量配分 $\frac{g_{sf}}{g_{so}}$ は次式で与えられる。

$$\frac{g_{sf}}{g_{so}} = \frac{W_0}{P \cdot g} \int_0^t f(S) \, ds \quad ⑧$$

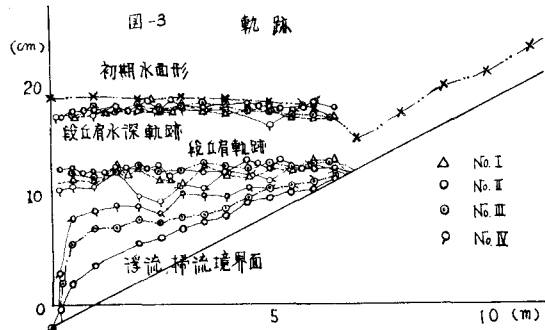


図-3 軌跡

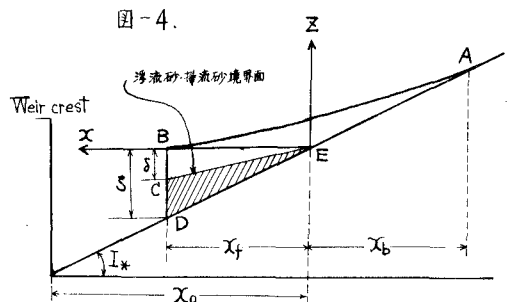


図-4.

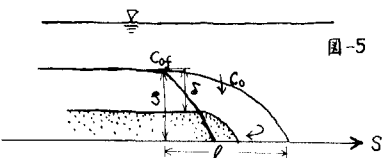


図-5

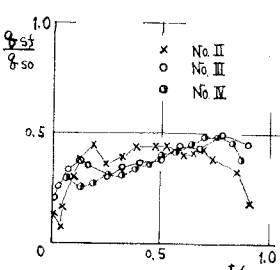


図-6.

実験 No. II 及び No. IV に於ける時は、 $\int_0^L \xi(s) ds$ は同じであると思われる。そこで $\xi(s)$ は浮流砂の量に關係なく、デルタ肩より reattachment point までの距離(従ってデルタ肩の位置)のみに關係する事になり。そこで $\xi(s)$ の実測値と(1)式を用いて ξ_{B0} を求めると圖-16 のようになり。 ξ_{B0} は供給物質量 I_{B0} に關係なく、各実験としては同じような形と示し上述の關係を裏付けているようである。又 ξ_{B0} は時間と共に多少増えていくようであるが、その変化は余り大きくない。浮流砂・輸流砂境界面の形状は直線状となしくなることに対応している。以上の事から浮流砂・輸流砂の境界面の形状を決めるには flow-set bed の底面の構造と浮流砂の濃度分布を知らねば必要であり、今後の研究課題としていたい。

(2) デルタ形状と輸流砂量配分

貯水池に捕流砂のみ流入する場合、デルタ形状を2次式で近似すると、輸流砂量配分 ξ_{B0} が定まる。浮流砂を含む場合にも top-set bed の堆砂形状を2次式で仮定し、デルタ肩の軌跡は水平であるとするところの条件、 $x = x_s$, $c = 0$, $x = x_b$, $c = I_b \cdot x_b - I_{B0}$, より係数が得より、次式

$$Z = \left(I_{B0} - \frac{I_b \cdot x_b}{x_s + x_b} \right) \cdot \frac{(x_s - x)^2}{x_s + x_b} + \left(2 - \frac{I_b \cdot x_b}{x_s + x_b} - I_{B0} \right) \cdot (x_s - x) \quad (9)$$

となる。デルタ先端の連続の式は、浮流砂・捕流砂境界面を直線と仮定し、その勾配を m とすると、

$$\frac{I_s - \xi_s}{L_s} \cdot \frac{d\xi_s}{dx} = -\frac{\xi_{B0}}{I_{B0}} \quad \text{但し } \xi_s = \xi_{B0}, \quad T = \frac{\xi_{B0}}{I_{B0}} / (1 - \lambda) \cdot L_s \cdot x_s^2 \quad (10)$$

又、デルタの長さは、図-4に於いて面積 $ABCEA = \xi_{B0} \cdot T / (1 - \lambda)$ より

$$(1 + \frac{I_{B0}}{L_s}) \cdot \xi_s^2 + 2 \cdot \xi_s \cdot \xi_u - 3 \cdot \xi_u^2 \left(1 - \frac{1}{L_s} \right) - b \cdot T = 0 \quad \text{但し } \xi_u = (x_s + x_b) / L_s \quad (11)$$

流砂量式として $\frac{\xi_s}{\sqrt{(\xi_s - p) \cdot g \cdot d^3}} = K \cdot \left\{ \frac{L_s}{(\xi_s - p) \cdot g \cdot d} \right\}^m$ (12)

と用いると、 $\frac{\xi_{B0}}{I_{B0}} \cdot \frac{(\frac{I_{B0}}{L_s})^{2m}}{(\frac{I_{B0}}{L_s})^3} = \left(2 - \frac{\xi_u}{\xi_{B0}} \cdot \frac{L_s}{I_{B0}} - 1 \right)^{\frac{2m}{3}} = \left(2 \cdot \frac{L_s}{I_{B0}} - 1 - 2 \cdot \frac{\xi_u}{\xi_{B0}} \right)^{\frac{2m}{3}}$ (13)

となる。尚指數 m の値は、佐藤・吉川・芦田公式では $m=1.5$, Brown 公式では $m=2.5$, 篠原椿公式では $m=2.3$ である。 $(10), (11), (13)$ を連立して解けば ξ_s, ξ_u, ξ_{B0} の時間的変化がわかる。特に $m=1.5$, $I_{B0}=I_s=I_s$ の場合には、 $(10), (11), (13)$ より、 $\frac{1}{2} \cdot \frac{d\xi_s^2}{dx} = 1 - \frac{2}{3} \cdot \frac{\xi_{B0}^2}{T}$ となる。簡単に積分できて、 $\xi_s = \sqrt{\frac{6}{7}} \cdot T$, $\frac{\xi_{B0}}{I_{B0}} = \frac{4}{7}$, $\xi_u = \sqrt{\frac{21}{2}} \cdot T$ となる。が一般には解析的下解けない。しかし実験結果や数値的に解いた結果によると、 $\frac{\xi_{B0}}{I_{B0}} = 1.8$ は $\approx \text{const.}$ と考えられる。そこで $\frac{\xi_{B0}}{I_{B0}} = \text{const.}$ と仮定すると、(10)式より $T = \frac{1}{2} \cdot \frac{\xi_{B0}}{I_{B0}} \cdot \frac{L_s}{I_s} \cdot \xi_s^2$ 、これを(11)式に代入して、

$$\begin{aligned} \frac{\xi_u}{\xi_s} &= -\frac{1}{1 - \frac{I_{B0}}{L_s}} \cdot \left[\sqrt{1 + 3 \left(1 - \frac{I_{B0}}{L_s} \right) \left[1 + \frac{L_s}{I_s} \left(\frac{\xi_{B0}}{I_{B0}} - 1 \right) \right]} - 1 \right], \quad (I_{B0} \neq I_s) \\ \frac{\xi_u}{\xi_s} &= -\frac{3}{2} \left\{ 1 + \frac{L_s}{I_s} \left(\frac{\xi_{B0}}{I_{B0}} - 1 \right) \right\} \quad (I_{B0} = I_s) \end{aligned} \quad (14)$$

(10), (14)式より

$$\frac{\xi_{B0}}{I_{B0}} = \left[2 \cdot \frac{L_s}{I_{B0}} - \frac{2 \left(\frac{L_s}{I_s} - 1 \right)}{\sqrt{1 + 3 \left(1 - \frac{I_{B0}}{L_s} \right) \left[1 + \frac{L_s}{I_s} \left(\frac{\xi_{B0}}{I_{B0}} - 1 \right) \right]} - 1} \right] \quad (I_{B0} \neq I_s) \quad (15)$$

$$\frac{\xi_{B0}}{I_{B0}} = \left[1 - \frac{4}{3} \cdot \frac{1}{1 + \frac{L_s}{I_s} \left(\frac{\xi_{B0}}{I_{B0}} - 1 \right)} \right]^{\frac{2m}{3}} \quad (I_{B0} = I_s)$$

又、 $\frac{I_{eo}}{I_*}$ は⑩式より近似的に

$$\frac{I_{eo}}{I_*} = \left(\frac{q_{eo}}{q_{eo}} \right)^{\frac{3}{2m}}$$

⑪

となる。ここで q_{eo} は原床勾配 I_* 及びうきうられ流流量・粒径の比と於ける流砂量である。よって、 $\frac{q_{eo}}{q_{eo}}$ は、 $\frac{q_{eo}}{q_{eo}}$ 及び $\frac{I_{eo}}{I_*}$ の関数になる。 $\frac{q_{eo}}{q_{eo}}$ も同様である。そこで、⑫～⑯式により $m = 2.3$ (緒原・橋公式) とし、 $\frac{q_{eo}}{q_{eo}}$ をパラメーターにして、 $\frac{q_{eo}}{q_{eo}}$ 、 $\frac{q_{eo}}{q_{eo}}$ と $\frac{I_{eo}}{I_*}$ の関係を求めて図示すると、図-7 のようになる。それによると $\frac{I_{eo}}{I_*}$ 従く浮遊砂の割合が増加するにつれて、 $\frac{q_{eo}}{q_{eo}}$ は減少し、 $\frac{q_{eo}}{q_{eo}}$ はやや増大してより実験結果の傾向とよく一致している。又 $\frac{I_{eo}}{I_*}$ は実測値を用い、 $\frac{q_{eo}}{q_{eo}} = 0.6$ 、として⑪、⑫、⑯式により、デルタ形状を求め実験値と比較したところ、デルタの背端附近を除き、実験値と可成よく合っている。その1例を、図-8 に示す。

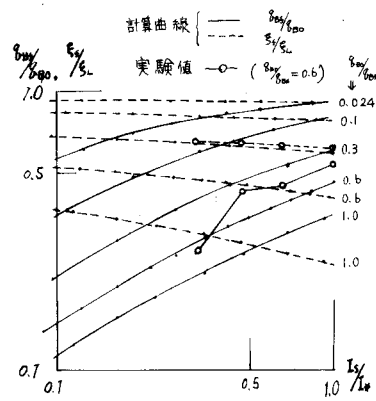


図-7

図-8 計算値と実験値の比較
(実験 NO. III)

